

## تغییرات فصلی و مکانی غلظت کادمیوم در آب زیرزمینی دشت همدان- بهار با استفاده از روش‌های قطعی و زمین‌آمار

عبدالله طاهری تیزرو<sup>۱\*</sup>، ناصرالدین پارسافر<sup>۲</sup>، امین ترجیان<sup>۳</sup>

تاریخ دریافت: ۹۳/۰۴/۲۴ تاریخ پذیرش: ۹۳/۰۷/۲۰

<sup>۱</sup>- دانشیار گروه مهندسی منابع آب، دانشکده کشاورزی، دانشگاه بولی سینا، همدان

<sup>۲</sup>- دانشگاه آزاد اسلامی، واحد همدان، باشگاه پژوهشگران جوان و نخبگان، همدان

<sup>۳</sup>- دانشجوی دکتری مهندسی منابع آب، دانشکده کشاورزی، دانشگاه بولی سینا، همدان

\*مسئول مکاتبات، پست الکترونیکی: ttizro@yahoo.com

### چکیده

در این تحقیق، با استفاده از بعضی روش‌های قطعی و زمین‌آمار از قبیل کریجینگ، فاصله معکوس، چندجمله‌ای موضعی و توابع پایه شعاعی، تغییرات فصلی و مکانی عنصر کادمیوم در آب‌های زیرزمینی دشت همدان- بهار واقع در استان همدان مورد بررسی قرار گرفت. به این منظور از ۳۰ حلقه چاه در چهار فصل تابستان، پاییز و زمستان ۱۳۸۱ و بهار ۱۳۸۲ نمونه‌گیری به عمل آمد. به منظور تحلیل فصلی و مکانی کیفیت عناصر مورد بررسی در آب‌های زیرزمینی از امکانات نرم افزاری زمین‌آمار ArcGIS نسخه ۱۰ استفاده گردید. معیارهای ارزیابی میانگین خطای مطلق (MAE)، ریشه میانگین مربع خطأ (RMSE) و انحراف استاندارد عمومی (GSD)، با استفاده از روش اعتبارسنجی متقابل بود. نتایج این تحقیق نشان داد که مدل چند جمله‌ای موضعی، روش کریجینگ (با توابع ساده و گسسته)، روش کریجینگ (با مدل‌های احتمالی و شاخص) و کریجینگ (با مدل‌های احتمالی و شاخص) بهترین روش برای تخمین غلظت کادمیوم در فصل‌های تابستان، پاییز، زمستان و بهار می‌باشدند. همچنین روش کریجینگ (با مدل‌های احتمالی و شاخص) در فصل‌های تابستان و پاییز و روش توابع پایه شعاعی در فصل‌های زمستان و بهار به عنوان نامناسب‌ترین روش‌ها تعیین گردیدند. نتایج ارزیابی نشان داد، بهترین روش انتخاب شده در یک مقطع زمانی را نمی‌توان برای سایر فصل‌ها نیز استفاده نمود. همچنین غلظت کادمیوم در فصل تابستان در شمال دشت و در فصل بهار در شمال شرقی دشت بالا بود. این غلظت در فصل پاییز در تمام دشت برابر ۰/۰ میکروگرم بر لیتر و در فصل زمستان از سمت شرق به غرب روبه افزایش مشاهده گردید.

واژه‌های کلیدی: آب‌های زیرزمینی، دشت همدان- بهار، روش قطعی، زمین‌آمار، کادمیوم

## Seasonal and Spatial Variations of Cadmium Concentration in Groundwater of the Hamedan-Bahar Plain using Geostatistics and Deterministic Methods

A Taheri Tizro<sup>1\*</sup>, N Parsafar<sup>2</sup>, A Toranjian<sup>3</sup>

Received: 15 July 2014 Accepted: 12 October 2014

<sup>1</sup>-Assoc. Prof., Dept. of Water Resource Eng., Faculty of Agric., Bu-Ali Sina Univ., Hamedan, Iran

<sup>2</sup>-Young Researchers & Elites Club, Hamedan Branch, Islamic Azad University, Hamedan, Iran

<sup>3</sup>- Ph.D. Student of Water Resources Eng., Faculty of Agric., Bu-Ali Sina Univ., Hamedan, Iran

\* Corresponding Author, E-mail: ttizro@yahoo.com

### Abstract

In this research, using different deterministic and geostatistical methods including kriging, inverse distance, local polynomial and radial basis functions, the seasonal and spatial distributions of cadmium (Cd) amounts in groundwater were evaluated in the Hamedan-Bahar plain. To do this groundwater of 30 wells in the plain were sampled in four seasons i.e. summer and autumn 2002, winter and spring 2003. To analyze the seasonal and spatial elements of the quality of ground water, the geostatistical software ArcGIS version 10 was used. The performance criteria for evaluating the used methods were Mean Absolute Error (MAE), Root Mean Square Error (RMSE) and General Standard Deviation (GSD) using the cross validation method. The results showed that local polynomial, kriging (disjunctive and simple), kriging method (probability and indicator) and kriging (probability and indicator) were the best methods to estimate Cd in summer, autumn, winter and spring, respectively. Also, kriging (probability and indicator) for summer and autumn as well as Radial Basis Functions method for winter and spring were illustrated as unsuitable methods for estimating Cd. The interpreted results showed, the best approach adopted for a period of time could not be utilized for other seasons. Also cadmium concentration was high in the northern parts of the plain (summer season) and in the Northeast parts (spring season). This concentration was up to 2.0 micrograms per liter in autumn season, which was covering all the plain. The trend of increase in cadmium concentrations was observed from eastern parts to western parts of the study area in the winter season.

**Keywords:** Cd, Deterministic method, Geostatistics, Groundwater, Hamedan-bahar plain

نیاز شرب، کشاورزی و صنعت معطوف گردیده است. این در حالی است که کمتر به حفظ کیفی آبخوانها توجه می‌شود (رابرتسون و همکاران ۱۹۹۶). منابع آب زیرزمینی در کشور ایران و بسیاری از کشورهایی که آب و هوایی مشابه دارند، مهمترین منابع آب مورد استفاده در کشاورزی و شرب به شمار می‌آیند. از سوی دیگر خطر آلودگی کمتر این منابع نسبت به دیگر روش‌های فرآوری آب باعث شده که حتی در مناطقی که

### مقدمه

آلودگی محیط ناشی از فلزات سنگین اکنون مشکلی در مقیاس جهانی است. فلزات سنگین با توجه به ثبات شیمیایی، تجزیه‌پذیری ضعیف و داشتن قدرت تجمع زیستی در بدن موجودات زنده به سرعت تبدیل به آلاینده‌های سمی می‌شوند. آب‌های زیرزمینی از دو جنبه کمی و کیفی قابل بررسی می‌باشند. در کشورهای در حال توسعه و توسعه نیافته، بیشترین توجه به یافتن سفره‌های آب زیرزمینی مناسب جهت تأمین آب موردن

استاندارد سرب و کروم در ۸۰ درصد این چاهها بود. علت آلودگی، فعالیتهای صنعتی منطقه و تخریب برخی صخره‌های منطقه به علت شرایط آب و هوایی شناخته شد. جوهانا (۲۰۰۷) نسبت به اندازه‌گیری آرسنیک و منگنز در منابع آب شرب زیرزمینی کامبودیا در بنگالادش با وسعتی برابر ۳۷۰۰ کیلومتر مربع اقدام نمود. در این مطالعه ۱۳۱ نمونه مورد آزمایش قرار گرفت. در مجموع محدوده غلظت آرسنیک ۱ تا ۱۳۴۰ میکروگرم در لیتر بود و غلظت آن در ۴۸ درصد نمونه‌ها بالاتر از ۱۰ میکروگرم در لیتر مشاهده گردید و سلامت بیش از ۱/۲ میلیون نفر در معرض تهدید بود. اکر (۲۰۰۶) نسبت به سنجش فلزات سنگین مس و کادمیوم و سرب در آبهای سطحی منطقه مایتیلوسپ اقدام نمود. نتایج حاکی از آن بود که غلظت این فلزات در آبهای سطحی در زمان‌های متفاوت متغیر است و غلظت کادمیوم در محدوده پایین‌تری قرار دارد. ولی غلظت مس و سرب در نمونه‌برداری‌های اولیه بسیار بالاتر بود.

امروزه به منظور تخمین متغیرهای مکانی یک منطقه از روش‌های آماری تحت عنوان زمین‌آمار<sup>۱</sup> استفاده می‌گردد. تفاوت اصلی این روش با آمار کلاسیک<sup>۲</sup> این است که در آمار کلاسیک نمونه‌های گرفته شده از یک جامعه آماری، مستقل از یکدیگر بوده و وجود یک نمونه هیچگونه اطلاعاتی درباره نمونه بعدی نمی‌دهد. اما روش زمین‌آمار وجود همبستگی مکانی بین مقادیر یک متغیر در یک ناحیه را بررسی می‌نماید. روش‌های مختلف زمین‌آمار بسته به نوع متغیر، دقت متفاوتی را نشان می‌دهند. به طور کلی می‌توان گفت زمین‌آمار به بررسی آن دسته از متغیرهایی می‌پردازد که دارای ساختار مکانی هستند و یا به عبارتی بین مقادیر مختلف آنها و فاصله و جهت قرار گرفتن آنها یک ارتباط فضایی وجود دارد (حسنی‌پاک ۱۳۸۹).

در سال ۱۹۹۰ میلادی نتایج حاصل از تخمین سطح ایستابی با روش زمین‌آمار که برای بهینه کردن شبکه-

کمبودی از لحاظ آب سطحی احساس نمی‌شود نیز استفاده از این منابع رونق داشته باشد. موضوع آلودگی آبهای نه تنها در کشورهای صنعتی بلکه در کشورهای در حال توسعه نیز مطرح است. برای مثال در بیشتر شهرهای ایران که آب شرب از منابع زیرزمینی تامین می‌شود، باید به مسئله آلوده بودن این منابع به نیترات و سایر عناصر سمی که ممکن است به وسیله چاههای فاضلاب یا کودها و سمومی که در کشاورزی مصرف شده و همراه با آب نفوذی به لایه‌های آبدار می‌رسد، توجه شود. بتایران در مطالعات هیدرولوژی همراه با مطالعه کمی آب، معیارهای کیفی آن نیز بررسی می‌شوند (مهدوی ۱۳۸۴).

یکی از عوارض جانبی صنعتی شدن، مصرف مواد شیمیایی مختلف به طور عمده یا اتفاقی توسط انسان می‌باشد که پیامد آن مسمومیت‌های مختلف است که عمدهاً بسیار خطرناک و کشنده‌اند (دبیری ۱۳۷۵). فلزات سرب و کادمیوم جزء آن دسته از عناصری هستند که وجودشان در مواد غذایی و محیط به عنوان عوامل مخاطره‌انگیز مورد توجه زیاد پژوهشگران قرار گرفته است. اخیراً بحث‌های متعددی درباره مسمومیت حاد و مزمن ناشی از آلودگی مواد غذایی و آب به فلزات به عمل آمده است و شناسایی عامل این مسمومیت‌ها که روز به روز در حال افزایش است، اهمیت بسیاری دارد (بالانتاین و همکاران ۱۹۹۴).

کادمیوم معمولاً به طور طبیعی در آبهای سطحی و زیرزمینی وجود دارد. کادمیوم از طریق فرسایش خاک و سنگ بستر، رسوبات آلوده اتمسفری ناشی از کارخانجات صنعتی، پساب مناطق آلوده و استفاده از لجن و کود در کشاورزی وارد آبهای می‌شود. حلالیت کادمیوم در آب تحت تاثیر عواملی نظیر نوع ترکیبات و pH آب است. غلظت بیش از چند میکروگرم در لیتر کادمیوم احتمالاً ناشی از تخلیه فاضلاب آلوده به کادمیوم می‌باشد (شریعت پناهی ۱۳۸۸).

باسمایاقی (۲۰۰۷) نسبت به بررسی غلظت فلزات سنگین در آب ۳۶۴ چاه شخصی منطقه باتینای عمان اقدام نمود که نتایج نشان‌دهنده افزایش بیش از حد

<sup>1</sup>Geostatistics

<sup>2</sup>Classic Statistics

ذخایر آن و روند افزایشی تخلیه فاضلاب‌های شهری و صنعتی، مواد جامد، کاربرد سموم و کودهای شیمیایی در محدوده آن مورد توجه است (احسانی و همکاران ۱۳۸۶). در این دشت بخش‌های مرکزی از شهرستان همدان و بخش‌های لالجین، صالح آباد و بخش مرکزی از شهرستان بهار قرار دارد. این دشت بر اساس دیاگرام اقلیمی آمیرژه، در اقلیم نیمه‌خشک سرد قرار گرفته و دارای آب و هوای سرد کوهستانی می‌باشد. با توجه به اطلاعات موجود، مجموع برداشت سالیانه آب از منابع زیرزمینی دشت برای مصارف مختلف حدود ۳۵۲ میلیون متر مکعب است، که حدود ۳۲۰ میلیون متر مکعب آن توسط چاهها، ۱۹ میلیون متر مکعب آن توسط قنات‌ها و ۱۲ میلیون متر مکعب آن توسط چشمه‌ها به دست می‌آید. این میزان برداشت در سه بخش شرب، کشاورزی و صنعت در سطح دشت به مصرف می‌رسد (بی‌نام ۱۳۸۰). دشت همدان-بهار با اینکه فقط نه درصد مساحت دشت‌های استان را تشکیل می‌دهد، یکی از مهم‌ترین مراکز تولید محصولات کشاورزی استان محسوب می‌شود. شبیه عمومی منطقه، جنوبی- شمالی و شمال شرقی- غربی است. عمدت‌ترین رودخانه‌های حوضه از کوه‌های الوند سرچشمه می‌گیرند و در قسمت‌های مرکزی دشت بهم پیوسته و رودخانه سیمینه رود را تشکیل می‌دهند. متوسط آبدی رودخانه مذکور در ۷ سال اخیر برابر  $1/43$  مترمکعب در ثانیه بوده که حاکی از کاهش آبدی درصدی است (ترنجیان ۱۳۸۸).

موقعیت استان همدان در کشور و دشت بهار در این استان و همچنین موقعیت چاههای مورد بررسی و نقشه زمین‌شناسی منطقه در شکل ۱ ارائه شده است. همان‌طور که ملاحظه می‌گردد چاهها دارای پراکنده‌گی مناسبی در سطح دشت می‌باشند.

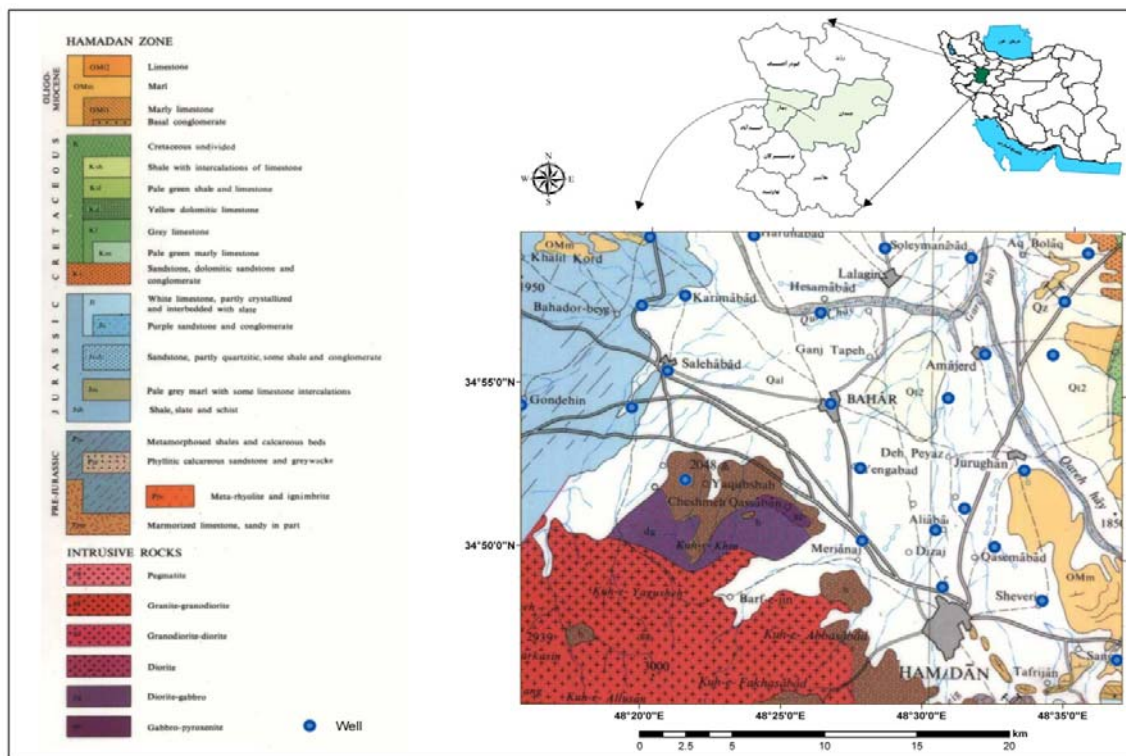
در شکل ۲ نقشه کاربری اراضی منطقه مورد مطالعه در سال ۱۳۸۱ تهیه گردیده است. همان‌طور که مشاهده می‌گردد کشت گیاهان زراعی دیم و آبی، باغ و مرتع سطح دشت را پوشش داده‌اند. لذا کاربری عمدی این دشت کشاورزی می‌باشد. مهم‌ترین محصولات زراعی دشت گندم، جو آبی و دیم و پس از آن به ترتیب یونجه، سیب‌زمینی و سیر است.

های پاییش در کشور مراکش انجام شده بود، توسط بن- جما و مارینو (۱۹۹۰) ارائه گردید. این نتایج حاکی از برتری روش‌های زمین‌آماری بر روش‌های مبتنی بر آمار کلاسیک بود. در تحقیقی که توسط حسینی و همکاران (۱۳۸۲) انجام گرفت، دو پارامتر هدایت الکتریکی و سولفات موجود در آب زیرزمینی شهر مشهد با استفاده از روش کریجینگ تخمین زده شد. رضوانی (۱۳۷۵) برای تخمین انتقال فسفر در سیلان خروجی از حوضه‌های آبخیز، با استفاده از مقادیر فسفر اندازه‌گیری شده در حوضه، از تخمین‌های زمین- آماری استفاده کرد.

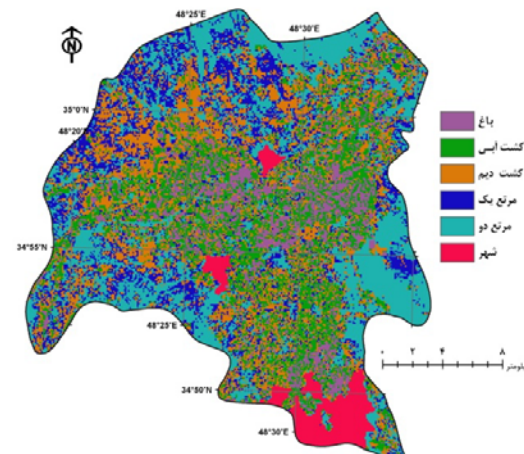
دشت همدان- بهار یکی از چهار دشت منطقه همدان می‌باشد که به دلیل بروز افت مداوم و کاهش ذخایر مخازن آب زیرزمینی در طی دو دهه گذشته از یک طرف و همچنین روند افزایشی تخلیه فاضلاب‌های شهری و صنعتی، مواد زائد و جامد و کاربرد سموم و کودهای شیمیایی در محدوده آن از اهمیت ویژه‌ای برخوردار شده است. با توجه به مطالب گفته شده و با توجه به اینکه تغییرات فصلی با روش‌های قطعی و زمین‌آمار بسیار کم مورد بررسی قرار گرفته است لذا هدف از پژوهش حاضر بررسی تغییرات فصلی و مکانی عنصر کادمیوم در آب‌های زیرزمینی دشت همدان- بهار بر اساس روش‌های قطعی و زمین‌آمار در فصل‌های تابستان، پاییز و زمستان ۱۳۸۱ و بهار ۱۳۸۲ می‌باشد.

## مواد و روش‌ها

موقعیت جغرافیایی دشت مورد مطالعه و منابع داده‌ها دشت همدان- بهار در طول دره وسیعی که از دو طرف به کوه‌های بلند و ارتفاعات الوند محصور است، با مساحت تقریبی ۹۳۰ کیلومتر مربع در حد فاصل ارتفاع ۱۷۰۰ تا ۱۸۰۰ متری از سطح دریا واقع شده، دارای کمترین وسعت در بین دشت‌های منطقه همدان می‌باشد. دشت همدان- بهار در محدوده طول شرقی ۴۸ درجه و ۱۷ دقیقه تا ۴۸ درجه و ۳۳ دقیقه و عرض شمالی ۳۴ درجه و ۴۹ دقیقه تا ۳۵ درجه و ۲ دقیقه واقع شده است. این دشت یکی از دشت‌های اصلی تأمین‌کننده آب شرب و کشاورزی همدان است که به دلیل افت مداوم و کاهش



شکل ۱- موقعیت استان همدان در نقشه کشوری به همراه دشت بهار در استان.



شکل ۲- نقشه کاربری اراضی دشت همدان- بهار در سال ۱۳۸۱.

عنوان ایستگاههای ثابت جهت برداشت نمونه انتخاب شد. جهت تعیین غلظت کادمیوم در آب زیرزمینی در این تحقیق، از نتایج تجزیه شیمیایی آب‌های ۳۰ عدد چاه در چهار فصل تابستان، پاییز و زمستان ۱۳۸۱ و بهار ۱۳۸۲ در دشت همدان- بهار که این داده‌ها از سازمان

### روش نمونه‌برداری

جهت دستیابی به کیفیت آب‌های زیرزمینی دشت همدان- بهار، محدوده دشت در بلوک‌های ۲۵ کیلومترمربعی تقسیم گردید. بلوک به طور تصادفی انتخاب گردید و در هر بلوک نزدیکترین اجتماع به-

۲- چند جمله‌ای موضعی<sup>۳</sup>: روش چندجمله‌ای موضعی، کمینه مجدورات متناسب را بین گره‌های شناسایی شده در محدوده بیضوی شکل، به عنوان وزن گره تخصیص می‌دهد. در این روش بر اساس ضرایب تخصیص داده شده، با به دست آوردن رابطه درجه اول، دوم و یا سوم بین مقادیر  $x$ ،  $y$  و  $z$  و کمینه‌سازی اطلاعات محاسبه شده، درون‌یابی صورت می‌گیرد. در تحقیق حاضر از روش چند جمله‌ای موضعی با توابع ثابت<sup>۴</sup>، اپانچنیکوف<sup>۵</sup>، نمایی<sup>۶</sup>، گوسی<sup>۷</sup>، چند جمله‌ای درجه پنج<sup>۸</sup> و درجه چهارم<sup>۹</sup> استفاده گردید.

۳- توابع پایه شعاعی<sup>۱۰</sup>: از جمله روش‌های درون‌یابی است که در آن سطح تخمین از مقادیر مشاهده‌ای عبور می‌کند. از خصوصیات این روش که حالتی از شبکه عصبی مصنوعی می‌باشد این است که مقادیر بیشتر از بیشینه مقادیر مشاهده‌ای و یا کمتر از کمینه مقادیر مشاهده‌ای در سطح تخمین وجود دارد. در روش فاصله معکوس نیز سطح تخمین از مقادیر مشاهده‌ای عبور می‌نماید اما این روش هیچ‌گاه مقادیر بیشتر از بیشینه و کمتر از کمینه داده‌های مشاهده‌ای را تخمین نمی‌زند. در این تحقیق از روش توابع پایه شعاعی با توابع نواری کاملاً مرتب شده<sup>۱۱</sup>، چندرباعی معکوس<sup>۱۲</sup>، نواری همراه با کشش<sup>۱۳</sup>، چندرباعی<sup>۱۴</sup> و نواری کم ضخامت<sup>۱۵</sup> استفاده شده است. این روش بر اساس پنج تابع مختلف درون‌یابی اطلاعات را انجام می‌دهد. هسته اصلی توابع، مجموع مقادیر مجدورات ( $h^2 + R^2$ ) می‌باشد. مقادیر  $R$  و  $h$

محیط زیست استان همدان اخذ شده بود استفاده گردید (رحمانی ۱۳۸۲). جهت نمونه‌برداری از ظروف پلی‌اتیلن که از قبل با نیتریک اسید غلیظ شستشو داده شده بود، استفاده گردید. به‌منظور جلوگیری از ترسیب فلزهای سنگین یک میلی‌لیتر اسید نیتریک غلیظ به ۱۰۰ میلی‌لیتر نمونه اضافه شد. برای اندازه‌گیری غلظت کادمیوم در نمونه‌ها از دستگاه جذب اتمی دارای کوره گرافیتی استفاده شد.

### روش‌های مورد بررسی

در این تحقیق از دو روش قطعی و زمین‌آمار استفاده گردید.

#### الف: روش‌های قطعی<sup>۱</sup>

۱- روش فاصله معکوس<sup>۲</sup>: روش فاصله معکوس یک روش درون‌یابی با وزن‌دهی متوسط بوده که در آن داده‌ها از طریق رابطه انحراف یک نقطه از سایر نقاط با استفاده از گره‌های شبکه‌بندی شده وزن‌دهی می‌شوند. هنگامی که گره شبکه برآورده می‌گردد، وزن‌های تخصیص داده شده نقاط به مقادیر کوچکی تقسیم گردیده به‌طوری‌که مجموع همه وزن‌های تخصیص داده شده نقاط برابر یک می‌باشد. زمانی که یک نقطه بر گره شبکه منطبق شود، فاصله این نقطه تا گره برابر با صفر بوده، بنابراین در این حالت وزن تخصیص داده شده به نقطه مذکور برابر یک و وزن سایر نقاط اطراف گره برابر با صفر می‌باشد (فرانک ۱۹۸۲). روش فاصله معکوس بر این فرضیه استوار است که با افزایش فاصله داده‌ها از یکدیگر، تأثیر داده‌ها بر یکدیگر نیز کم‌رنگ‌تر می‌شود. بنابراین ضریب وزنی با فاصله، رابطه معکوسی دارد. در تحقیق حاضر از سه مدل روش فاصله معکوس (بر حسب نوع قطاع<sup>۳</sup>) شامل یک قطعه‌ای، دو قطعه‌ای و سه قطعه‌ای استفاده گردید.

<sup>1</sup>Deterministic Methods

<sup>2</sup>Inverse Distance Method

<sup>3</sup>Sectori Type

<sup>4</sup>Local Polynomial Method

<sup>5</sup>Constant

<sup>6</sup>Epanechnikov

<sup>7</sup>Exponential

<sup>8</sup>Gaussian

<sup>9</sup>Polynomial Order 5

<sup>10</sup>Quadratic

<sup>11</sup>Radial Basis Function Method

<sup>12</sup>Completely Regularized Spline

<sup>13</sup>Inverse Multiquadric

<sup>14</sup>Spline with Tension

<sup>15</sup>Multiquadric

<sup>16</sup>Thin Plate Spline

نقاط مشاهدهای تکرار می‌شود، به‌طوری که در آخر به تعداد نقاط مشاهدهای، برآورده وجود خواهد داشت. در این تحقیق برای ارزیابی کارآیی روش‌های میانیابی از میانگین خطای مطلق<sup>۱۱</sup> ( $MAE$ )، ریشه میانگین مربع خطای<sup>۱۲</sup> ( $RMSE$ ) و انحراف استاندارد عمومی<sup>۱۳</sup> ( $GSD$ ) استفاده گردید.

$$MAE = \frac{\sum_{i=1}^n |Z^*(x_i) - Z(x_i)|}{n} \quad [1]$$

$$RMSE = \sqrt{\frac{\sum_{i=1}^n [Z^*(x_i) - Z(x_i)]^2}{n}} \quad [2]$$

$$GSD = \frac{RMSE}{\bar{Z}(x)} \quad [3]$$

$n$  تعداد نقاط مشاهدهای،  $\bar{Z}(x_i)$  میانگین مقادیر مشاهدهای،  $(x_i)$   $Z^*$  مقدار برآورده در نقطه آام و  $Z(x_i)$  مقدار مشاهدهای برای نقطه آام می‌باشد.

### نتایج و بحث

غلظت حدی کادمیوم موجود در آبهای زیرزمینی دشت همدان- بهار در جدول ۱ آمده است. بررسی غلظت فوق الذکر در ۳۰ چاه مورد بررسی نشان داد که بیشترین غلظت کادمیوم در چاه حسام‌آباد می‌باشد. بررسی مقادیر فصلی نشان داد که در مورد کادمیوم ۳۳/۶۲ درصد چاهها در فصل تابستان (تیر ماه) دارای بیشترین غلظت عنصر موردنظر می‌باشند. همچنین مقایسه غلظت عنصر با بیشینه مقادیر مجاز بر اساس استاندارد سازمان بهداشت جهانی (WHO) برای شرب (بینام ۲۰۰۸) و استاندارد FAO برای آبیاری کشاورزی (پسکار ۱۹۹۲) نشان داد که غلظت این عنصر در آب زیرزمینی مورد مطالعه در حد مجاز می‌باشد.

در پژوهش حاضر از روش‌های کریجینگ، توابع پایه شعاعی، چندجمله‌ای موضعی و فاصله معکوس با توابع

به‌ترتیب عامل هموار کننده<sup>۱</sup> و ترسیم ناهمسانگرد<sup>۲</sup> مرتبط با فاصله نقطه تا گره می‌باشد (کارل سون و فولی ۱۹۹۱).

### ب: روش زمین‌آمار

در بین روش‌های زمین‌آمار نیز، روش کریجینگ<sup>۳</sup> مورد مورد استفاده قرار گرفت. این روش متکی بر میانگین متحرک وزنی و بهترین تخمین‌گر نالریب می‌باشد که علاوه بر مقادیر برآورده شده، میزان خطای تخمین در هر نقطه را نیز مشخص می‌نماید (کیتانیدیس ۱۹۹۳). شرط نالریب بودن در سایر روش‌های تخمین نظری روش چندجمله‌ای و فاصله معکوس نیز اعمال می‌شود ولی ویژگی کریجینگ در آن است که در عین نالریب بودن، واریانس تخمین نیز کمینه می‌باشد. بنابراین کریجینگ همراه هر تخمین، مقدار خطای آن را نیز ارائه می‌دهد که با استفاده از این ویژگی منحصر به فرد کریجینگ می‌توان قسمت‌هایی که در آنجا خطای زیاد بوده و برای کاهش آن به داده‌های بیشتری نیاز است را مشخص نمود (گل محمدی ۱۲۸۵). در این تحقیق از روش کریجینگ با توابع گستته<sup>۴</sup>، شاخص<sup>۵</sup>، معمولی<sup>۶</sup>، معمولی<sup>۷</sup>، احتمالی<sup>۸</sup>، ساده<sup>۹</sup> و عمومی<sup>۱۰</sup> استفاده شده است.

### معیار ارزیابی

در این تحقیق، به‌منظور مقایسه و انتخاب مناسب‌ترین روش قطعی و زمین‌آمار، از روش اعتبارسنجی استفاده گردید. در این روش، در هر مرحله یک نقطه مشاهدهای حذف شده و با استفاده از بقیه نقاط مشاهدهای، آن نقطه برآورده شود. این کار برای کلیه

<sup>1</sup>Smoothing Factor

<sup>2</sup>Anisotropically Rescaled Factor

<sup>3</sup>Kriging Method

<sup>4</sup>Disjunctive

<sup>5</sup>Indicator

<sup>6</sup>Ordinary

<sup>7</sup>Probability

<sup>8</sup>Simple

<sup>9</sup>Universal

<sup>10</sup>Cross Validation

<sup>11</sup> Mean Absolute Error

<sup>12</sup> Root Mean Square Error

<sup>13</sup> General Standard Deviation

شکل ۴ نقشه تغییرات کادمیوم آب زیرزمینی دشت همدان- بهار را در فصل پاییز بر اساس روش کریجینگ با مدل گسته و ساده نشان می‌دهد. همان‌طور که مشاهده می‌گردد غلظت کادمیوم در تمام دشت برابر ۰/۰۰ میکروگرم بر لیتر مشاهده گردید.

نتایج ارزیابی روش‌های مورد بررسی در تخمین فلز کادمیوم برای دو فصل زمستان و بهار در جدول ۳ نشان داده شده است. با توجه به کمینه مقادیر میانگین خطای مطلق، ریشه میانگین مرربع خطای و انحراف استاندارد عمومی، روش کریجینگ به عنوان بهترین روش جهت برآورد کادمیوم در فصل زمستان انتخاب گردید. که بر همین اساس در بین توابع مختلف این روش، کریجینگ با مدل احتمالی و کریجینگ با مدل شاخص دارای بهترین برآورد بودند. شایان ذکر است که نتایج مدل احتمالی و مدل شاخص دقیقاً مشابه هم بودند. همچنین مقادیر معیارهای ارزیابی نشان داد که نامناسب‌ترین روش، روش توابع پایه شعاعی (توابع پایه شعاعی با مدل نواری کم ضخامت و با مدل چند ربعی) می‌باشد. با توجه به کمترین مقادیر میانگین خطای مطلق، ریشه میانگین مرربع خطای و انحراف استاندارد عمومی روش کریجینگ به عنوان بهترین روش جهت برآورد کادمیوم در فصل بهار مشخص شد که در بین توابع مختلف این روش، کریجینگ با مدل احتمالی و کریجینگ با مدل شاخص دارای بهترین برآورد بودند. شایان ذکر است که نتایج مدل احتمالی و مدل شاخص دقیقاً مشابه هم بودند. همچنین نتایج حاصل از برآورد معیارهای ارزیابی نشان داد که نامناسب‌ترین روش، روش توابع پایه شعاعی (توابع پایه شعاعی با مدل نواری همراه با کشش و با مدل چند ربعی) می‌باشند. سایر نتایج در جدول ۳ قابل مشاهده می‌باشد.

و توانهای مختلف استفاده شده است. نتایج ارزیابی دقت درون‌یابی عنصر کادمیوم به طور جدایانه برای هر فصل در جداول مربوطه ارائه شده است. نتایج ارزیابی روش‌های مورد بررسی در تخمین فلز کادمیوم برای دو فصل تابستان و پاییز در جدول ۲ نشان داده شده است. بر اساس معیارهای ارزیابی، روش چند جمله‌ای موضعی جهت برآورد کادمیوم در فصل تابستان انتخاب شد. که در بین توابع مختلف این روش، توابع چند جمله‌ای موضعی با مدل نمایی و چند جمله‌ای موضعی با مدل ثابت با کمترین مقدار مجموع میانگین خطای مطلق، ریشه میانگین مرربع خطای و انحراف استاندارد عمومی دارای بهترین برآورد بودند. همچنین با توجه به بیشترین مقدار مجموع میانگین خطای مطلق، ریشه میانگین مرربع خطای و انحراف استاندارد عمومی، روش کریجینگ (کریجینگ با مدل احتمالی و کریجینگ با مدل شاخص) به عنوان نامناسب‌ترین روش تعیین شد. روش کریجینگ جهت برآورد کادمیوم در فصل پاییز به عنوان بهترین روش، ارزیابی گردید. که در بین توابع مختلف این روش، با استناد به کمترین معیارهای میانگین خطای مطلق، ریشه میانگین مرربع خطای و انحراف استاندارد عمومی، کریجینگ با مدل گسته و کریجینگ با مدل ساده دارای بهترین برآورد بودند. شایان ذکر است که نتایج مدل‌های گسته و ساده مشابه هم بودند. همچنین نتایج نشان داد که نامناسب‌ترین روش در فصل پاییز نیز روش کریجینگ (کریجینگ با مدل‌های احتمالی و شاخص) می‌باشد.

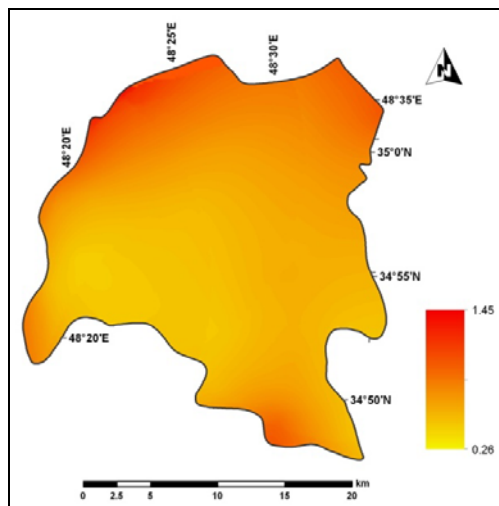
سایر نتایج در جدول ۲ قابل مشاهده می‌باشد. در شکل ۳ نقشه تغییرات کادمیوم آب زیرزمینی دشت همدان- بهار در فصل تابستان بر اساس روش چند جمله‌ای موضعی به عنوان بهترین روش ارائه شده است. همان‌طور که مشاهده می‌گردد غلظت کادمیوم در شمال دشت، زیاد (۱/۴۵ میکروگرم بر لیتر) و در قسمت شرقی مرکز دشت، کم (۰/۰۶ میکروگرم بر لیتر) بود.

جدول ۱- خلاصه نتایج بررسی اولیه آماری غلظت کادمیوم (ppb) برای چاههای مورد مطالعه.

پارامتر	بیشینه	میانگین	انحراف معیار	ضریب تغییرات	WHO	FAO
کادمیوم	۶/۲۲۳	۰/۰۶۱۴	۱/۱۲۶	۱/۸۲۵	۵	۱۰

جدول ۲- نتایج روش‌های قطعی و زمین‌آمار در تخمین کادمیوم آب زیرزمینی دشت همدان- بهار در دو فصل تابستان و پاییز.

فصل تابستان			فصل پاییز			مدل	روش
MAE(ppb)	RMSE(ppb)	GSD	MAE(ppb)	RMSE(ppb)	GSD		
۰/۱۵۸۹	۰/۲۲۵۳	۰/۴۹۲۸	۰/۲۶۰۸	۰/۲۹۱۵	۱/۴۸۱۱	یک قطعه‌ای	فاصله
۰/۱۵۸۸	۰/۲۲۱۵	۰/۴۸۴۴	۰/۲۴۷۷	۰/۲۸۲۸	۱/۴۲۶۸	چهار قطعه‌ای	
۰/۱۵۸۷	۰/۲۱۸۹	۰/۴۷۸۷	۰/۲۴۵۷	۰/۲۷۹۶	۱/۴۲۰۴	هشت قطعه‌ای	معکوس
۰/۱۵۳۱	۰/۲۰۷۲	۰/۴۰۲۲	۰/۲۲۳۸	۰/۲۶۶۱	۱/۲۵۲۰	گسسته	
۰/۴۰۵۶	۰/۴۶۱۱	۱/۰۰۸۴	۰/۲۸۰۰	۰/۴۹۹۵	۱/۵۳۷۷	شاخص	
۰/۱۵۲۷	۰/۲۱۸۸	۰/۴۷۸۶	۰/۲۴۶۰	۰/۲۸۸۹	۱/۴۶۷۸	معمولی	
۰/۴۸۱۳	۰/۵۴۲۶	۱/۱۸۶۷	۰/۴۹۵۵	۰/۵۰۷۸	۱/۵۷۹۷	احتمالی	کریجینگ
۰/۱۵۲۷	۰/۲۰۷۰	۰/۴۰۲۷	۰/۲۲۳۸	۰/۲۶۶۱	۱/۲۵۲۰	ساده	
۰/۱۵۱۸	۰/۲۱۸۵	۰/۴۷۷۸	۰/۲۴۶۰	۰/۲۸۸۹	۱/۴۶۷۸	عمومی	
۰/۱۵۰۸	۰/۱۹۸۳	۰/۴۰۴۲	۰/۲۴۴۲	۰/۲۸۶۰	۱/۴۵۲۹	ثابت	
۰/۱۵۲۳	۰/۱۹۹۹	۰/۴۰۷۸	۰/۲۵۰۶	۰/۲۹۱۹	۱/۴۸۲۰	اپانچنیکوف	چند
۰/۱۵۳۸	۰/۱۹۷۳	۰/۴۰۱۹	۰/۲۵۹۳	۰/۲۹۹۲	۱/۵۲۰۲	نمایی	
۰/۱۷۲۰	۰/۲۱۵۸	۰/۴۷۲۰	۰/۲۵۵۷	۰/۲۹۷۰	۱/۵۰۹۰	گوسی	جمله‌ای
۰/۱۷۶۸	۰/۲۲۰۴	۰/۴۸۲۰	۰/۲۵۸۸	۰/۳۰۰۳	۱/۵۲۵۹	درجه پنج	موقعی
۰/۱۵۲۶	۰/۲۰۰۳	۰/۴۰۸۷	۰/۲۵۵۷	۰/۲۹۶۹	۱/۵۰۸۳	درجه چهارم	
۰/۱۵۹۱	۰/۲۲۴۰	۰/۴۹۰۰	۰/۲۵۳۰	۰/۲۸۶۸	۱/۴۵۶۹	نواری کاملاً مرتب	توابع
۰/۱۶۰۳	۰/۲۲۳۷	۰/۴۸۹۳	۰/۲۴۵۶	۰/۲۷۷۰	۱/۴۰۷۳	چند رباعی معکوس	
۰/۱۶۲۲	۰/۲۲۳۷	۰/۴۸۹۲	۰/۲۶۶۵	۰/۳۰۹۰	۱/۵۶۹۹	چند رباعی	پایه
۰/۱۵۹۵	۰/۲۲۳۸	۰/۴۸۹۵	۰/۲۵۳۸	۰/۲۸۷۶	۱/۴۶۱۱	نواری همراه با	شعاعی
۰/۱۸۰۶	۰/۲۳۷۰	۰/۵۱۸۳	۰/۳۰۰۴	۰/۳۴۶۶	۱/۷۶۰۷	نواری کم ضخامت	



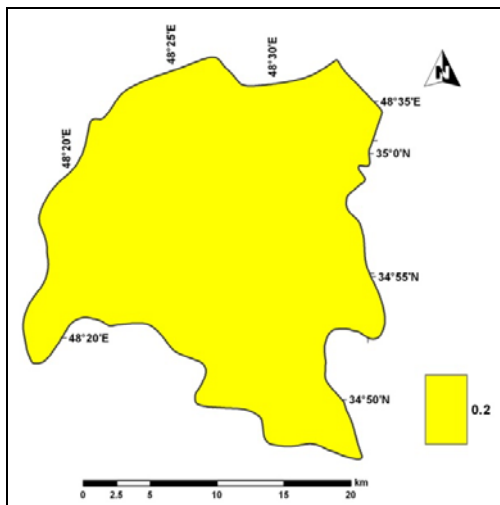
شکل ۳- تغییرات مکانی کادمیوم در منابع آب زیرزمینی دشت مذکور در فصل تابستان براساس روش چند جمله‌ای موضعی.

جدول ۳- نتایج روش‌های نقطی و زمین‌آمار در تخمین غلظت کادمیوم آب زیرزمینی دشت همدان- بهار در فصل‌های زمستان و بهار.

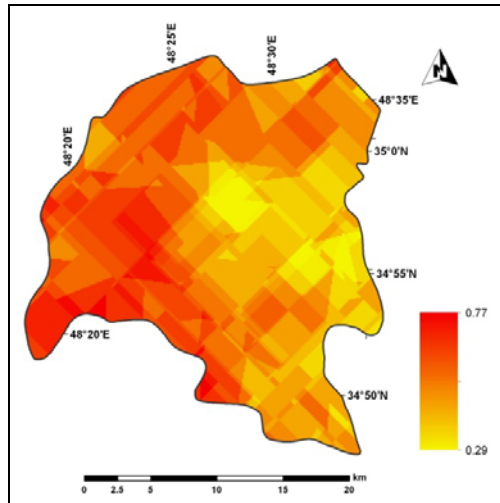
فصل زمستان			فصل بهار			مدل	روش
MAE(ppb)	RMSE(ppb)	GSD	MAE(ppb)	RMSE(ppb)	GSD		
۱/۲۵۵۴	۱/۷۳۹۰	۱/۸۳۶۹	۱/۲۰۶۰	۱/۸۱۶۰	۱/۸۹۲۰	یک نقطه‌ای	فاصله
۱/۲۱۲۲	۱/۶۹۰۵	۱/۷۸۵۷	۱/۱۶۰۸	۱/۵۶۸۴	۱/۸۲۶۳	چهار نقطه‌ای	معکوس
۱/۲۱۶۱	۱/۶۸۰۶	۱/۷۷۵۲	۱/۱۶۵۷	۱/۵۶۳۹	۱/۸۲۱۱	هشت نقطه‌ای	
۱/۰۹۷۳	۱/۵۶۸۸	۱/۶۵۷۲	۱/۰۰۳۷	۱/۴۵۱۲	۱/۶۹۹۱	گستته	
۰/۵۲۱۸	۰/۵۲۹۰	۰/۵۵۸۷	۰/۵۰۷۵	۰/۵۲۲۵	۰/۶۱۱۷	شاخص	
۱/۲۴۳۹	۰/۶۶۹۵	۱/۷۶۳۶	۱/۱۶۹۰	۱/۵۴۱۷	۱/۸۰۵۰	معمولی	کریجینگ
۰/۵۲۱۸	۰/۵۲۹۰	۰/۵۵۸۷	۰/۴۸۰۹	۰/۵۱۵۵	۰/۶۰۳۶	احتمالی	
۱/۰۹۷۳	۱/۵۶۸۸	۱/۶۵۷۲	۱/۰۰۳۷	۱/۴۵۱۲	۱/۶۹۹۱	ساده	
۱/۲۴۳۹	۱/۶۶۹۵	۱/۷۶۳۶	۱/۱۳۴۳	۱/۵۲۵۰	۱/۷۸۵۵	عمومی	
۱/۲۳۳۹	۰/۷۱۷۶	۱/۸۱۴۳	۱/۱۷۲۳	۱/۵۹۲۶	۱/۸۴۴۶	ثابت	
۱/۲۵۰۶	۱/۷۴۱۵	۱/۸۳۹۶	۱/۱۸۹۴	۱/۶۱۴۸	۱/۸۹۰۶	پانچنگوف	چند
۱/۲۶۲۳	۱/۷۵۸۳	۱/۸۵۷۳	۱/۲۱۱۳	۱/۶۴۳۲	۱/۹۲۳۹	نمایی	جمله‌ای
۱/۲۵۵۵	۱/۷۴۷۳	۱/۸۴۵۷	۱/۱۹۶۴	۱/۶۲۶۱	۱/۹۰۳۸	گویی	
۱/۲۶۷۸	۱/۷۶۴۶	۱/۸۶۳۹	۱/۲۰۵۰	۱/۶۳۶۵	۱/۹۱۶۱	درجه پنج	موضعی
۱/۲۶۱۶	۱/۷۵۷۵	۱/۸۵۶۵	۱/۱۹۹۳	۱/۶۳۰۰	۱/۹۰۸۵	درجه چهارم	
۱/۳۱۲۹	۱/۸۲۸۲	۱/۹۳۱۱	۱/۲۶۶۴	۱/۷۰۴۷	۱/۹۹۶۰	نواری کاملا	
۱/۲۲۴۹	۱/۶۷۲۹	۱/۷۶۷۲	۱/۱۵۶۰	۱/۵۳۲۲	۱/۷۹۳۹	چند رباعی	تابع
۱/۳۹۱۳	۲/۰۰۸۴	۲/۱۲۱۵	۱/۳۲۴۷	۱/۸۸۲۶	۱/۲۰۴۲	چند رباعی	پایه
۱/۲۹۸۴	۱/۸۰۴۶	۱/۹۰۶۲	۱/۵۱۵۷	۲/۰۶۲۱	۲/۴۱۳۳	نواری همراه با	شعاعی
۱/۸۰۳۹	۲/۱۸۰۵	۱/۳۰۳۳	۱/۲۵۳۲	۱/۶۷۹۹	۱/۹۶۷۰	نواری کم	

تفییرات کادمیوم آب زیرزمینی دشت همدان- بهار در فصل بهار بر اساس روش کریجینگ با مدل احتمالی و کریجینگ با مدل شاخص ارائه شده است. همان‌طور که مشاهده می‌گردد غلظت کادمیوم در شمال شرقی (۹۳٪ میکروگرم بر لیتر) نسبت به سایر مکان‌های دشت رو به افزایش مشاهده گردید.

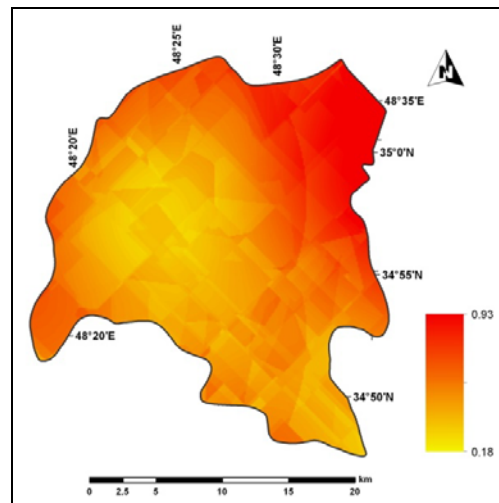
در شکل ۵ نقشه تغییرات کادمیوم آب زیرزمینی دشت همدان- بهار در فصل زمستان بر اساس روش کریجینگ با مدل احتمالی و کریجینگ با مدل شاخص ارائه شده است. همان‌طور که مشاهده می‌گردد غلظت کادمیوم از سمت شرق (۰٪ میکروگرم بر لیتر) به غرب (۷۷٪ میکروگرم بر لیتر) رو به افزایش مشاهده گردید. در شکل ۶ نقشه



شکل ۴- تغییرات مکانی کادمیوم در آب زیرزمینی دشت همدان- بهار در فصل پاییز براساس روش کریجینگ (گسسته و ساده).



شکل ۵- تغییرات مکانی کادمیوم در آب زیرزمینی دشت همدان- بهار در فصل زمستان براساس روش کریجینگ (احتمالی و شاخص).



شکل ۶- تغییرات مکانی کادمیوم در آب زیرزمینی دشت همدان- بهار در فصل بهار بر اساس روش کریجینگ (احتمالی و شاخص).

و توان‌های مختلف جهت برآورده کادمیوم در فصل‌های مختلف و همچنین بررسی تغییرات مکانی آن در منابع آب زیرزمینی دشت همدان- بهار استفاده گردید. نتایج این تحقیق نشان داد که نمی‌توان با اعتماد به ارزیابی روش‌های قطعی و زمین‌آمار برای انتخاب بهترین یا نامناسب‌ترین روش در یک فصل، نتیجه را به تمام فصل‌ها عمومیت بخشید. به طورکلی می‌توان گفت که روش کریجینگ با مدل‌های شاخص و احتمالی بهترین روش‌ها در فصل‌های زمستان و بهار و نامناسب‌ترین روش‌ها در فصل‌های تابستان و پائیز می‌باشند. همچنین روش توابع پایه شعاعی به عنوان نامناسب‌ترین روش در فصل‌های زمستان و بهار، روش چندجمله‌ای موضعی در فصل تابستان و روش کریجینگ (نمایی و ساده) در فصل پاییز به عنوان بهترین روش شناخته شدند. بر اساس بهترین روش درونیابی برای هر فصل نقشه تغییرات مکانی غلظت کادمیوم ترسیم گردید. نتایج نشان داد که غلظت کادمیوم در فصل تابستان در شمال دشت دارای مقادیر بالا و در مرکز دشت دارای مقادیر پایین، در فصل پاییز در تمام دشت برابر  $0.02$  میکروگرم بر لیتر، در فصل زمستان از سمت شرق به غرب روبه افزایش و در فصل بهار در شمال شرقی دشت روبه افزایش مشاهده گردید. تنوع روش‌های انتخاب شده لزوم ارزیابی روش‌ها را در زمان‌های مختلف بیان می‌نماید. لذا در منطقه‌بندی کیفی باید به نوع روش و زمان نمونه‌برداری توجه نمود.

از آنجاکه در بسیاری از تحقیقات انجام‌شده بر روی روش‌های زمین‌آمار، بررسی زمانی بهترین و نامناسب‌ترین روش صورت نمی‌گیرد، شایسته است در مناطق مختلف کشور ارزیابی روش‌های قطعی و زمین‌آمار در تخمین پارامترهای کیفی و کمی منابع آب زیرزمینی مورد مطالعه قرار گیرد.

نتایج معروفی و همکاران (۱۳۸۸) نشان داد که روش چندجمله‌ای موضعی و روش فاصله معکوس به ترتیب بهترین روش برای تخمین هدایت الکتریکی و pH آب‌های سطحی دشت همدان- بهار می‌باشد. همچنین روش توابع پایه شعاعی به عنوان نامناسب‌ترین روش در تخمین هدایت الکتریکی و pH شناخته شد. نتایج شعبانی (۱۳۸۷) در بررسی تعیین مناسب‌ترین روش زمین‌آمار در تهیه نقشه تغییرات pH و TDS در آب‌های زیرزمینی دشت ارسنجان نشان داد که روش زمین‌آمار کریجینگ ساده و معمولی نسبت به روش‌های قطعی برتری داشته و به ترتیب به عنوان روش مناسب جهت تهیه نقشه تهیه تغییرات pH و TDS در دشت ارسنجان انتخاب شدند.

بارکای و پاسارلا (۲۰۰۸) جهت تهیه نقشه خطر نیترات در دشت مادنا در ایتالیا از روش کریجینگ گسته و روش‌های شبیه‌سازی استفاده نمودند. نتایج نشان داد که روش کریجینگ گسته برای مطالعه خطر تخریب کیفیت آب‌های زیرزمینی مناسب است. نتایج تقی‌زاده مهرجردی و همکاران (۲۰۰۸) در تحییل مکانی برخی از ویژگی‌های کیفی آب‌های زیرزمینی دشت ارسنجان مانند SAR، TDS، EC، TH و  $\text{SO}_4^{2-}$  با استفاده از سه روش معکوس فاصله، کریجینگ و کوکریجینگ نشان داد که روش کریجینگ بر دو روش دیگر برتری داشته و در نهایت به عنوان روش نهایی و مناسب جهت تهیه نقشه ویژگی‌های کیفی آب‌های زیرزمینی انتخاب شد. گاووس و همکاران (۲۰۰۳) به منظور بررسی غلظت آرسنیک در آب‌های زیرزمینی بنگلادش از روش کریجینگ گسته جهت برآورد و تهیه نقشه احتمال استفاده کردند.

### نتیجه‌گیری کلی

در پژوهش حاضر از روش‌های کریجینگ، توابع پایه شعاعی، چندجمله‌ای موضعی و فاصله معکوس با توابع

احسانی ح، جاوید اح، حسنی اح، شریعت سم و رحمانی ع، ۱۳۸۶. بررسی روند تغییرات نیترات و کل جامدات محلول در آبهای شرب زیرزمینی دشت همدان - بهار با استفاده از سیستم اطلاعات جغرافیایی (GIS). مجموعه مقالات دهمین همایش کشوری بهداشت محیط، همدان، دانشگاه علوم پزشکی همدان، آبان ۱۳۸۶.

بی‌نام، ۱۳۸۰. گزارش هیدرولوژیکی دشت همدان-بهار، دفتر مطالعات منابع آب استان همدان، سازمان آب منطقه‌ای استان همدان. ترنجیان، ۱۳۸۸. بررسی مکان‌های آسیب‌پذیر به آلوگی در سفره آب زیرزمینی دشت همدان-بهار با استفاده از GIS. پایان‌نامه کارشناسی ارشد، دانشگاه بولعلی سینا، همدان.

حسنی‌پاک ع. ۱۳۸۹. زمین‌آمار (ژئواستاتیستیک). دانشگاه تهران، ۳۳۰ صفحه.

حسنی سم، قهرمانی ب و عسکری ح، ۱۳۸۲. تخمین هدایت الکتریکی و سولفات موجود در آب زیرزمینی مشهد با استفاده از روش کریجینگ. ششمین کنفرانس بین‌المللی مهندسی عمران. دانشگاه صنعتی اصفهان. ۱۵ اردیبهشت.

دیری م، ۱۳۷۵. آلوگی محیط زیست (هوای خاک، آب، صوت). تهران، نشر اتحاد.

رحمانی ع، ۱۳۸۲. مطالعه و بررسی منابع آب تحت الارضی دشت همدان-بهار. اداره کل محیط زیست استان همدان. رضوانی س، ۱۳۷۵. کاربرد مدل ANSWERS برای تخمین انتقال فسفر در سیلاب خروجی از حوضه‌های آبخیز با استفاده از مقادیر فسفر اندازه‌گیری شده در حوضه آبخیز و مقادیر تخمین زده شده به وسیله روش‌های ژئواستاتیستیکی. پایان‌نامه کارشناسی ارشد آبیاری، دانشکده کشاورزی، دانشگاه شیراز.

شریعت پناهی م، ۱۳۸۸. اصول کیفیت و تصفیه آب و فاضلاب. ویرایش اول، چاپ هشتم، دانشگاه تهران.

شعبانی م، ۱۳۸۷. تعیین مناسب‌ترین روش زمین‌آمار در تهیه نقشه تغییرات pH و TDS در آبهای زیرزمینی (مطالعه موردی: دشت ارسنجان). مجله مهندسی آب، سال ۱، صفحه‌های ۴۷ تا ۵۸.

گل‌محمدی گ، ۱۳۸۵. تخمین توزیع مکانی ضریب رواناب با استفاده از روش‌های زمین‌آمار در سطح استان همدان با استفاده از GIS. پایان‌نامه کارشناسی ارشد آبیاری و زهکشی، دانشکده کشاورزی، دانشگاه بولعلی سینا، همدان.

معروفی ص، ترنجیان او زارع ابیانه ح، ۱۳۸۸. ارزیابی روش‌های زمین‌آمار جهت تخمین هدایت الکتریکی و pH زه‌آب‌های آبراهه‌ای دشت همدان-بهار. پژوهش‌های حفاظت آب و خاک، سال ۱۶، شماره ۲، صفحه‌های ۱۶۹ تا ۱۸۷.

مهدوی م، ۱۳۸۴. هیدرولوژی کاربردی. جلد دوم، انتشارات دانشگاه تهران.

Aker F, 2006. Calculate the amount of heavy metals copper and cadmium and lead in surface water area Mytilus sp. Water Science and Technology 75: 98-105

Anonymous, 2008. Guidelines for drinking-water quality. Third ed, WHO, Incorporating the first and second addenda, Volume 1: Recommendations, Geneva, 668p.

Ballantyne B, Marrs TC and Syverson T, 1994. General Applied Toxicology. Second ed. Grove's Dictionaries Inc, New York.

Barcae E, Passarella G. 2008. Spatial evaluation of the risk of groundwater quality degradation: A comparison between disjunctive kriging and geostatistical simulation. Environmental Monitoring and Assessment 133: 261-273.

Basma Y, 2007. Concentration of heavy metals in the 364 water wells batynay region of oman. Water research 36: 1343-1348.

Ben-Jemaa F and Marino MA, 1990. Optimization of a groundwater well monitoring network. Pp. 610-615. International Conference on Optimizing the Resources for Water Management. April 17-21, Forth worth, Texas.

Carlson RE and Foley TA, 1991. Radial basis interpolation methods on track data. Lawrence Livermore national laboratory. UCRL-JC-1074238.

Frank, R. 1982. Scattered data interpolation: test of some methods. Mathematics of Computations 33:181-200.

Gaus I, Kinniburgh DG, Talbot JC and Webster R, 2003. Geostatistical analysis of arsenic concentration in groundwater in Bangladesh using disjunctive kriging. Environmental Geology 44: 939-948.

Johana B, 2007. Measurement of arsenic and manganese in underground water sources in bangladesh Cambodia. Water Research 36: 1211-1218

Kitanidis PK, 1993. Geostatistics. McGraw-Hill Book Co, New York.

- Pescod MB, 1992. Wastewater treatment and use in agriculture. FAO, Irrigation and Drainage. Paper no. 47, Rome.
- Robertson WD, Russel and BM and Cherry JA, 1996. Attenuation of nitrate acquitted sediments of southern Ontario. *Journal of Hydrology* 180(1-4): 267-81.
- Taghizade-Mehrjardi R, Zareian M, Mahmodi Sh and Heidari A, 2008. Spatial distribution of groundwater quality with geostatistics (case study: Yazd-Ardakan plain). *World Applied Science Journal* 4(1): 9-17.